

TQ-БИФУРКАЦИИ В ДИСКРЕТНЫХ ДИНАМИЧЕСКИХ СИСТЕМАХ: ИССЛЕДОВАНИЕ КАЧЕСТВЕННЫХ ПЕРЕСТРОЕНИЙ ФОРМЫ КОЛЕБАНИЙ

*А. В. Макаренко**

*Научно-исследовательская группа «Конструктивная кибернетика»
101000, Москва, Россия*

*Институт проблем управления Российской академии наук
117997, Москва, Россия*

Поступила в редакцию 11 февраля 2016 г.

В дискретных динамических системах определен новый класс бифуркаций и изложены методы их диагностики и анализа свойств. Исследуемые TQ-бифуркации реализуются в дискретных отображениях и связаны с качественным перестроением формы траекторий в расширенном пространстве состояний. В рамках демонстрации основных возможностей инструментария проведен анализ логистического отображения в области расположенной справа от предельной точки удвоения периода. Найдены пять критических значений параметра, при которых происходит качественная перестройка геометрической структуры траекторий отображения. Дополнительно проведено исследование так называемого «отображения следа», возникающего в задачах квантовомеханического описания различных свойств дискретных кристаллических и квазикристаллических решеток.

DOI: 10.7868/S0044451016100138

1. ВВЕДЕНИЕ

Многие детерминированные динамические системы [1, 2], в том числе и с конкретным физическим содержанием [3], имеют «квазислучайное» поведение [4, 5] и представляют собой широкий класс хаотических систем, в которых, в свою очередь, весьма существенно проявляется фундаментальный феномен — бифуркационные перестроения структуры аттрактора.

Концепция бифуркаций в динамических системах впервые была выдвинута Пуанкаре для описания «расщепления» равновесных решений в семействе обыкновенных дифференциальных уравнений [1]. Затем, в связи с широким распространением прикладных задач для теории динамических систем и нелинейных колебаний, бифуркации в основном исследовали изменения качественной структуры орбит в результате малых возмущений системы [2]. Это объясняется тем, что динамические системы, возникающие в приложениях, как правило, со-

держат параметры (обычно варьируемые), и поэтому очень важно понимать, как качественный фазовый портрет изменяется при варьировании (возмущении) параметров. В итоге трудами многих исследователей была сформирована современная теория бифуркаций [6]. В современной трактовке рассматриваются не только бифуркации положений равновесия и предельных циклов, но и перестройки системы в целом и, прежде всего, ее инвариантных множеств, аттракторов [7]. Следует заметить, что подобная постановка «программы исследований» восходит к работам Андронова.

Чем же важен феномен бифуркаций для исследования хаотических систем? Образование и разрушение структур, смена режимов синхронизации, подавление хаоса через управление, разрушение хаоса и переход к хаосу сопровождаются изменением симметрии и параметров порядка (согласно положениям современной статистической физики) траекторий динамических систем. В основе этого, в свою очередь, лежат те или иные бифуркационные механизмы, реализующиеся в динамических системах [6, 8].

В связи с изложенным выше становится ясно, почему в настоящее время фокус множества исследо-

* E-mail: avm.science@mail.ru

ваний сместился в область совместного рассмотрения явлений бифуркаций в динамических системах и феноменов, ими порождаемых (или их сопровождающих): синхронизации, самоорганизации, управления хаосом. В данном контексте отметим некоторые современные работы, в которых изучаются бифуркации в системе глобально синхронизирующихся осцилляторов при изменении фазового сдвига в связях между ними [9]; вопросы самоорганизации (возникновения фазосинхронных кластеров) в системе слабосвязанных осцилляторов, динамика которых располагается на границе бифуркации Хопфа [10]. В работе [11] на основе модели клеточного автомата типа Изинга исследуются бифуркации и хаотические режимы в обществе по параметру «мнение», а управляющим параметром выступает образование связей между элементами сети. Авторы работы [12] на примере системы связанных осцилляторов Ван дер Поля исследуют бифуркационные механизмы формирования мультистабильности в динамике системы; эти механизмы позволяют описать эффекты синхронизации в достаточно широком классе взаимодействующих систем. В работе [13] изучаются топологические и динамические свойства нейронной сети в зависимости от изменения двух параметров (синаптической задержки и соотношения между потенцированием и депрессией) показано формирование бистабильности в системе, переход между ветвями которой происходит через бифуркацию Хопфа, что оказывает прямое влияние на процессы обучения сети, ее топологическое строение и когнитивные свойства.

Таким образом, анализ бифуркаций, протекающих в динамических системах, является одним из центральных вопросов нелинейной динамики и математического моделирования. На текущий момент теория бифуркаций хорошо развита [6]. Однако это настолько обширная и сложная тема, что она не может считаться методологически завершенной, она постоянно развивается, причем в двух направлениях. С одной стороны, для объяснения различных явлений, демонстрируемых физическими, техническими, биофизическими и социальными системами, необходима адаптация известных бифуркационных механизмов, таких как бифуркации Хопфа, бифуркации удвоения периода, бифуркации вилки и т. п. С другой стороны, происходит поиск новых видов бифуркационных перестроений аттракторов, не укладывающихся в означенные.

Одной из форм математического описания динамических систем являются дискретные отображения

$$\mathbf{s}_{k+1} = \mathbf{f}(\mathbf{s}_k, \mathbf{p}), \quad (1)$$

где \mathbf{s} — переменная состояния динамической системы, \mathbf{p} — вектор параметров отображения, k — дискретное время. Пусть N — размерность пространства состояний отображения, L — размерность пространства параметров отображения.

Заметим, что дискретные динамические системы в форме (1) являются таким классом объектов, изучение свойств которых важно как с фундаментальной точки зрения, так и с прикладных позиций. При этом отображения (или, иначе, рекуррентные соотношения) применяются как для моделирования собственно динамики систем [3, 4, 14], так и в смежных вопросах, например, при исследовании характеристик магнитных решеток [15, 16], анализе различных свойств квазикристаллов [17, 18], изучении хаотизации параметров лучевых траекторий в неоднородных подводных звуковых каналах [19], исследовании динамики заряженных частиц высоких энергий в прямых и изогнутых кристаллах [20].

Хорошо известно, что весьма мощным инструментом исследования рекуррентных соотношений, заданных в виде (1), являются методы символической динамики [1, 2, 21]. При этом возможности символического анализа полностью раскрываются на детерминированных системах вида (1), траектории которых демонстрируют аналогию со случайными процессами [8, 22, 23].

В настоящей статье для дискретных динамических систем определен новый класс бифуркаций и изложены методы их диагностики и анализа свойств. Введенные TQ-бифуркации реализуются в рекуррентных соотношениях и проявляются в виде качественного перестроения формы траекторий в расширенном пространстве состояний [24, 25]. В основе метода лежит формализм символического СТQ-анализа, предложенного автором в работах [26, 27] (аббревиатура СТQ обозначает три алфавита, которыми оперирует метод: С, Т и Q). Необходимо отметить, что символическая динамика, при всей своей кажущейся внешней простоте, является весьма строго обоснованным инструментом анализа нелинейных динамических систем [21] и позволяет исследовать такие сложные явления в системах, как хаос, странные аттракторы, гиперболичность, структурная устойчивость, управляемость и т. п. (см., например, работы [21–23] и приведенные там ссылки).

В качестве одного из изучаемых примеров, из методических соображений, выбрано логистическое отображение, являющееся эталонным объектом

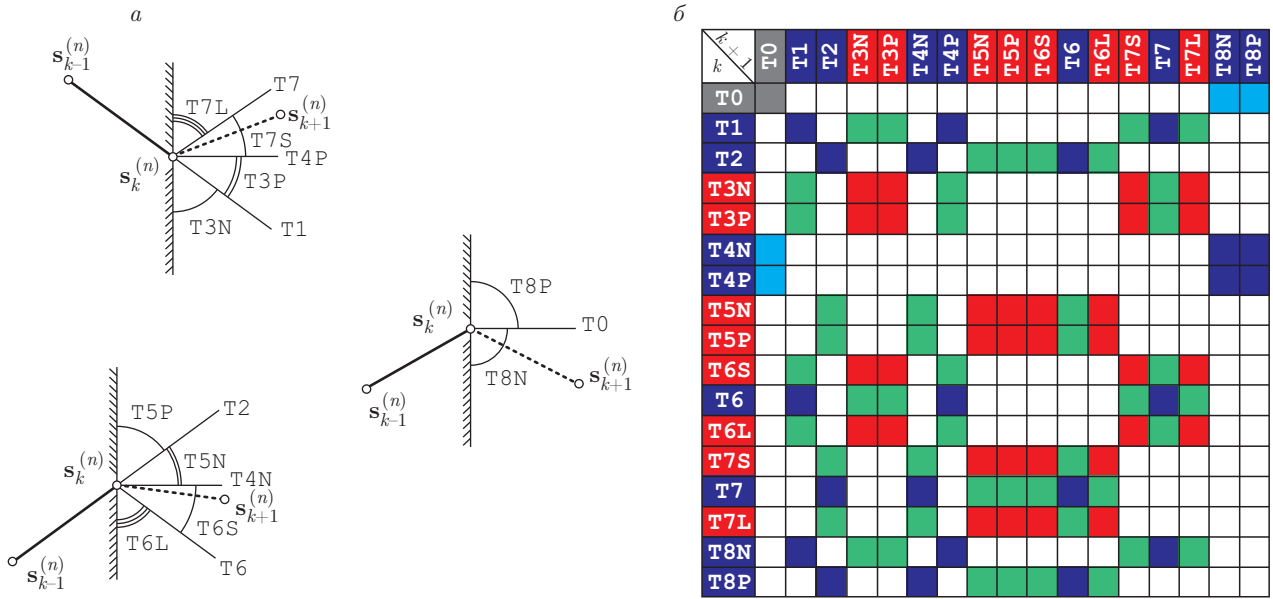


Рис. 1. (В цвете онлайн) Графические диаграммы, иллюстрирующие геометрию символов $T_k^{\alpha\varphi}|_n$ для k -го отсчета и n -й фазовой переменной (а), а также допустимые переходы между символами (б)

нелинейной динамики. С учетом универсальности Фейгенбаума многие результаты анализа этой системы распространяются на широкий класс как модельных, так и реальных объектов. Второй пример посвящен исследованию так называемого «отображения следа», возникающего в задачах квантово-механического описания различных свойств дискретных кристаллических и квазикристаллических решеток.

2. СИМВОЛЬНОЕ ОПИСАНИЕ ДИСКРЕТНЫХ ДИНАМИЧЕСКИХ СИСТЕМ

2.1. Определение T-алфавита

Свяжем с дискретной динамической системой 1 траекторию ее эволюции, заданную в виде дискретной последовательности (временного ряда) $\{s_k\}_{k=1}^K$, где фазовая переменная s системы имеет размерность N , а траектория состоит из K временных отсчетов. При этом каждому k -му отсчету может быть сопоставлен момент времени t_k .

Определим исходное отображение, кодирующее, в терминах конечного T-алфавита [26, 27], форму n -й компоненты последовательности $\{s_k\}_{k=1}^K$:

$$\left\{s_{k-1}^{(n)}, s_k^{(n)}, s_{k+1}^{(n)}\right\} \Rightarrow T_k^{\alpha\varphi}|_n, \quad (2)$$

$$T_k^{\alpha\varphi} = [T_k^{\alpha\varphi}|_1, \dots, T_k^{\alpha\varphi}|_N].$$

Графические диаграммы, иллюстрирующие геометрию символов $T_k^{\alpha\varphi}|_n$ для k -го отсчета и n -й фазовой переменной, приведены на рис. 1а. Строго, отображение (2) задается через соотношения

$$\begin{aligned} T0 & \Delta s_- = \Delta s_+ = 0, \\ T1 & \Delta s_- = \Delta s_+ < 0, \\ T2 & \Delta s_- = \Delta s_+ > 0, \\ T3N & \Delta s_- < 0, \quad \Delta s_+ < \Delta s_-, \\ T3P & \Delta s_- < 0, \quad \Delta s_+ < 0, \quad \Delta s_+ > \Delta s_-, \\ T4N & \Delta s_- > 0, \quad \Delta s_+ = 0, \\ T4P & \Delta s_- < 0, \quad \Delta s_+ = 0, \\ T5N & \Delta s_- > 0, \quad \Delta s_+ > 0, \quad \Delta s_+ < \Delta s_-, \\ T5P & \Delta s_- > 0, \quad \Delta s_+ > \Delta s_-, \\ T6S & \Delta s_- > 0, \quad \Delta s_+ < 0, \quad \Delta s_+ > -\Delta s_-, \\ T6 & \Delta s_- = -\Delta s_+ > 0, \\ T6L & \Delta s_- > 0, \quad \Delta s_+ < 0, \quad \Delta s_+ < -\Delta s_-, \\ T7S & \Delta s_- < 0, \quad \Delta s_+ > 0, \quad \Delta s_+ < -\Delta s_-, \\ T7 & \Delta s_- = -\Delta s_+ < 0, \\ T7L & \Delta s_- < 0, \quad \Delta s_+ > 0, \quad \Delta s_+ > -\Delta s_-, \\ T8N & \Delta s_- = 0, \quad \Delta s_+ < 0, \\ T8P & \Delta s_- = 0, \quad \Delta s_+ > 0, \end{aligned} \quad (3)$$

где $\Delta s_- = s_k^{(n)} - s_{k-1}^{(n)}$ и $\Delta s_+ = s_{k+1}^{(n)} - s_k^{(n)}$.

Таким образом, T-алфавит включает в себя множество символов

$$T_o^{\alpha\varphi} = \{T_0, T_1, T_2, T_{3N}, T_{3P}, T_{4N}, T_{4P}, T_{5N}, T_{5P}, T_{6S}, T_6, T_{6L}, T_{7S}, T_7, T_{7L}, T_{8N}, T_{8P}\}. \quad (4)$$

Как видно из (4), символ $T_k^{\alpha\varphi}|_n$ кодируется в виде Ti , где i — правая часть кодов символов алфавита $T_o^{\alpha\varphi}$. В свою очередь, символ $T_k^{\alpha\varphi}$ кодируется через $Ti_1 \dots i_N$, см. (2). Полный алфавит $T_o^{\alpha\varphi}|N$, кодирующий форму траектории многомерной последовательности $\{s_k\}_{k=1}^K$ в целом, состоит из 17^N символов.

2.2. Определение Q-алфавита

Дополнительно к символам $T_k^{\alpha\varphi}|_n$ вводятся также символы $Q_k^{\alpha\varphi}|_n$:

$$Q_k^{\alpha\varphi}|_n \equiv T_k^{\alpha\varphi}|_n \rightarrow T_{k+1}^{\alpha\varphi}|_n, \quad (5)$$

$$Q_k^{\alpha\varphi} = [Q_k^{\alpha\varphi}|_1, \dots, Q_k^{\alpha\varphi}|_n, \dots, Q_k^{\alpha\varphi}|_N].$$

Все допустимые переходы составляют множество символов алфавита $Q_o^{\alpha\varphi} \ni Q_k^{\alpha\varphi}|_n$. Подмножества символов алфавита $Q_o^{\alpha\varphi}$, отвечающие алфавитам $T_c^{\alpha\varphi}$, $T_s^{\alpha\varphi}$ и $T_o^{\alpha\varphi}$ (см. ниже разбиение (12)), обозначим через $Q_c^{\alpha\varphi}$, $Q_s^{\alpha\varphi}$ и $Q_o^{\alpha\varphi}$. Допустимые переходы обозначены на рис. 1б.

Символ $Q_k^{\alpha\varphi}|_n$ кодируется через Qij , где i и j — правые части кодов символов алфавита $T_o^{\alpha\varphi}$ соответственно для k - и $(k+1)$ -состояний. В свою очередь, символ $Q_k^{\alpha\varphi}$ кодируется через $Q i_1 \dots i_n \dots i_N j_1 \dots j_n \dots j_N$. Для полного алфавита $Q_o^{\alpha\varphi}|N$, кодирующего форму траектории последовательности $\{s_k\}_{k=-\infty}^{\infty}$ в целом, справедливо условие $|Q_o^{\alpha\varphi}|N| = 107^N$.

3. TQ-БИФУРКАЦИИ ДИНАМИЧЕСКОЙ СИСТЕМЫ

3.1. Общие положения

Сгруппируем последовательные итерации отображения:

$$\left\{s, f(s, p), f^2(s, p)\right\} \rightarrow \left\{f(s, p), f^2(s, p), f^3(s, p)\right\}, \quad (6)$$

где $f^w(s, p)$ — композиция функций,

$$f^w(s, p) = f(f(\dots f(s, p), p), p), \quad f^0(s, p) = s.$$

Исходя из выражений (5) и (2), компоновка (6) однозначно определяет Q-символ, соответствующий

состоянию s динамической системы (1). Зафиксировав вектор параметров p и варьируя переменную состояния s отображения в пределах S_p^O — некоего множества состояний, возможно определить $\langle T^{\alpha\varphi}, Q^{\alpha\varphi} \rangle_p^O$ — набор T- и Q-символов, входящих в состав траекторий в данной области состояний динамической системы S_p^O , при данном векторе параметров p . Тогда TQ-бифуркацию в системе (1) определим как изменение набора T- и Q-символов в области варьирования переменной состояния s , отвечающее условию

$$\langle T^{\alpha\varphi}, Q^{\alpha\varphi} \rangle_a^O \xrightarrow{p=p_b} \langle T^{\alpha\varphi}, Q^{\alpha\varphi} \rangle_b^O, \quad (7)$$

$$\langle T^{\alpha\varphi}, Q^{\alpha\varphi} \rangle_a^O \neq \langle T^{\alpha\varphi}, Q^{\alpha\varphi} \rangle_b^O, \quad p_a \neq p_b,$$

где $\langle T^{\alpha\varphi}, Q^{\alpha\varphi} \rangle_a^O$ и $\langle T^{\alpha\varphi}, Q^{\alpha\varphi} \rangle_b^O$ — наборы T- и Q-символов, входящие в состав траекторий соответственно до и после TQ-бифуркации, p_b — бифуркационное значение вектора параметров. TQ-бифуркации подразделяются на три рода (для иллюстрации см. рис. 2а):

I — изменяется набор символов $T^{\alpha\varphi}$, а набор символов $Q^{\alpha\varphi}$ — переходов между неизменными символами $T^{\alpha\varphi}$ — остается неизменным;

II — набор символов $T^{\alpha\varphi}$ остается постоянным, но изменяется набор символов $Q^{\alpha\varphi}$;

III — изменяется как набор символов $T^{\alpha\varphi}$, так и набор символов $Q^{\alpha\varphi}$.

Как следует из изложенного выше, TQ-бифуркации определяют области гомогенной динамики дискретной системы (1) в смысле символического СТQ-анализа, т. е. на уровне формы траектории динамической системы в расширенном пространстве состояний. Смысл этого высказывания иллюстрирует рис. 2б, где, в частности, показан один из сценариев перехода между циклами периодов 3 (Γ_C^{TQ}) и 5 (Γ_B^{TQ}) через TQ-бифуркацию II рода.

Потенциально конструктивное применение разработанного подхода к анализу дискретных динамических систем возможно в контексте решения следующих проблем. Во-первых, это задача передачи и кодирования информации в хаотических системах, так как сложность траектории (аттрактора) — их близость к шумовым процессам — является принципиальным моментом для криптографических систем подобного рода. А сложность траектории напрямую связана с ее формой [28], см. также ниже разд. 4.1. Во-вторых, это управление хаотической динамикой и подавление хаотических колебаний при помощи малых внешних воздействий, ибо эффективность управления напрямую зависит от соотно-

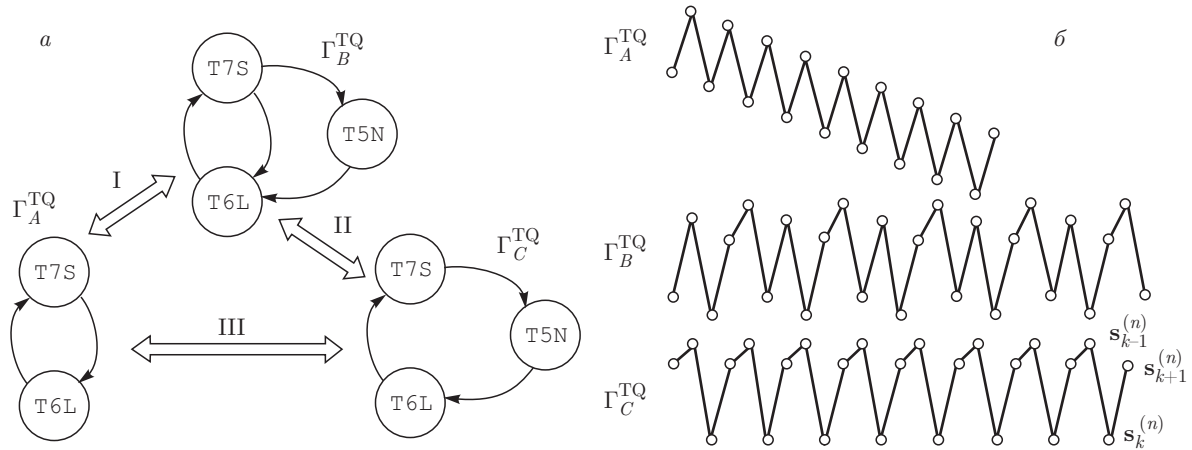


Рис. 2. Иллюстрация сути трех родов TQ-бифуркаций (а) и варианты траекторий, соответствующих трем наборам T- и Q-символов (б)

шения структуры аттрактора и управляющего воздействия [5, 14]. Вопросы, связанные с TQ-бифуркациями и управлением/подавлением хаоса, являются предметом наших настоящих исследований.

Предложенный метод применим не только к системам, эволюционирующим во времени. Изучение TQ-бифуркаций, к примеру в контексте исследования различных решеточных моделей, задаваемых дискретными отображениями, позволяет получить ответы на ряд вопросов. Для случая магнитных решеток (когда фазовые переменные имеют смысл намагниченности на узел [15]) появляется возможность восстановления качественных свойств пространственного профиля намагниченности кристалла и анализа их изменений при варьировании параметров системы (подобную трактовку могут иметь траектории, изображенные на рис. 2б, если k принять за пространственный шаг решетки). При исследовании динамики заряженных частиц высоких энергий в изогнутых кристаллах [20] появляется возможность строгого анализа приращений угловых координат частиц при переходе от одной цепочки (решетки) атомов к другой в зависимости от направления кристаллографических осей, радиуса кривизны изгиба кристалла и иных параметров.

3.2. Анализ отображений

Рассмотрим вопросы вычисления бифуркационного значения параметра \mathbf{p} и анализа свойств отображений, связанных с TQ-бифуркациями.

Введем обозначения

$$\begin{aligned} s_x &= \mathbf{s} - \mathbf{f}(\mathbf{s}, \mathbf{p}), & s_y &= \mathbf{f}^2(\mathbf{s}, \mathbf{p}) - \mathbf{f}(\mathbf{s}, \mathbf{p}), \\ s_z &= \mathbf{f}^3(\mathbf{s}, \mathbf{p}) - \mathbf{f}^2(\mathbf{s}, \mathbf{p}). \end{aligned} \tag{8}$$

Из (8) выделим для анализа n -ю фазовую переменную и полученные величины представим как декартовы координаты точки в трехмерном пространстве:

$$\begin{aligned} s_x &= \mathbf{s}_x^{(n)}, & s_y &= \mathbf{s}_y^{(n)}, & s_z &= \mathbf{s}_z^{(n)}, \\ P_{\mathbf{Q}\mathbf{s}}^{(n)} &= (s_x, s_y, s_z). \end{aligned} \tag{9}$$

С учетом (6) несложно видеть, что точка $P_{\mathbf{Q}\mathbf{s}}^{(n)}$ определяет символ $Q^{\alpha\varphi}|_n$, соответствующий состоянию \mathbf{s} . Введем в рассмотрение плоскость $\mathbb{F}'_T^{(n)}$, на которой определим правую декартову систему координат и взаимно однозначно связанную с ней полярную:

$$\mathbb{F}'_T^{(n)} \subset \mathbb{R}^2 : (s_x, s_y) \Leftrightarrow (\phi_{s'}, r_{s'}), \tag{10}$$

где $\phi_{s'}$ — полярный угол, а $r_{s'}$ — радиус-вектор. Плоскость $\mathbb{F}'_T^{(n)}$ возможно разметить таким образом, что каждая ее точка будет однозначно отвечать единственному символу из алфавита $T_0^{\alpha\varphi}$. На рис. 3а приведена область определения T-символов на плоскости $\mathbb{F}'_T^{(n)}$.

С учетом (10) отображение (2) переписется в виде

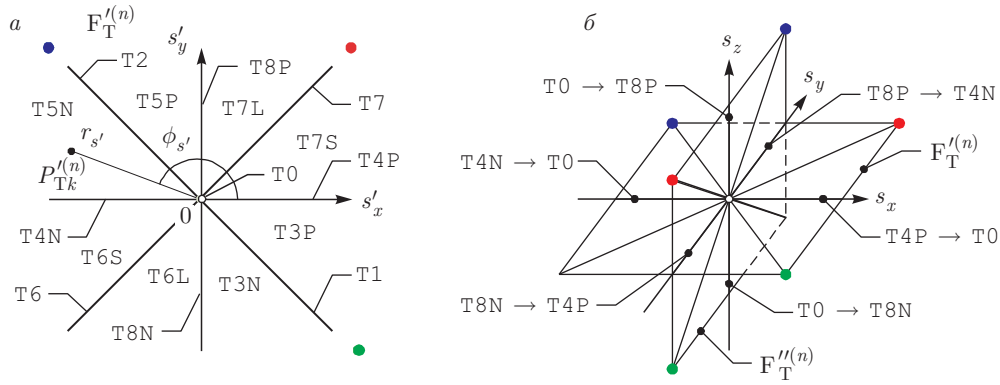


Рис. 3. Разметка плоскости $F_T^{(n)}$ (а) и разметка и ориентация плоскости $F_T^{(n)}$, схема формирования пространства $P_{TQ}^{(n)}$ (б)

T0	$r_{s'} = 0,$	
T1	$r_{s'} > 0,$	$\phi_{s'} = 7\phi',$
T2	$r_{s'} > 0,$	$\phi_{s'} = 3\phi',$
T3N	$r_{s'} > 0,$	$\phi_{s'} \in (6, 7)\phi',$
T3P	$r_{s'} > 0,$	$\phi_{s'} \in (7, 8)\phi',$
T4N	$r_{s'} > 0,$	$\phi_{s'} = 4\phi',$
T4P	$r_{s'} > 0,$	$\phi_{s'} = 0\phi',$
T5N	$r_{s'} > 0,$	$\phi_{s'} \in (3, 4)\phi',$
T5P	$r_{s'} > 0,$	$\phi_{s'} \in (2, 3)\phi',$
T6S	$r_{s'} > 0,$	$\phi_{s'} \in (4, 5)\phi',$
T6	$r_{s'} > 0,$	$\phi_{s'} = 5\phi',$
T6L	$r_{s'} > 0,$	$\phi_{s'} \in (5, 6)\phi',$
T7S	$r_{s'} > 0,$	$\phi_{s'} \in (0, 1)\phi',$
T7	$r_{s'} > 0,$	$\phi_{s'} = 1\phi',$
T7L	$r_{s'} > 0,$	$\phi_{s'} \in (1, 2)\phi',$
T8N	$r_{s'} > 0,$	$\phi_{s'} = 6\phi',$
T8P	$r_{s'} > 0,$	$\phi_{s'} = 2\phi',$

где $\phi' = \pi/4$. Идея отображения символов Т-алфавита на плоскость $F_T^{(n)}$ первоначально была предложена автором в докладе на конференции [29]. Как видно из (11) и рис. 3а, все символы Т-алфавита, $T_0^{\alpha\varphi}$, однозначно разделяются на три непересекающихся класса:

$$\begin{aligned} T_0^{\alpha\varphi} &= \{T0\}, \\ T_s^{\alpha\varphi} &= \{T1, T2, T4N, T4P, T6, T7, T8N, T8P\}, \\ T_c^{\alpha\varphi} &= \{T3N, T3P, T5N, T5P, T6S, T6L, T7S, T7L\}. \end{aligned} \quad (12)$$

Отметим, что разбиение (12) имеет строгое обоснование через размерность Хаусдорфа [30] областей на плоскости $F_T^{(n)}$, занимаемых этими символами.

Дополнительно к плоскости $F_T^{(n)}$ введем плоскость $F_T^{\prime(n)}$, отвечающую символу $T_{k+1}^{\alpha\varphi}|_n$, на которой также определим правую декартову систему координат и взаимно однозначно связанную с ней полярную:

$$F_T^{\prime(n)} \subset \mathbb{R}^2 : (s_y, s_z) \Leftrightarrow (\phi_{s''}, r_{s''}). \quad (13)$$

Правила разметки этой плоскости аналогичны таковым для плоскости $F_T^{(n)}$, но зеркально отраженной по оси s_y , см. рис. 3б.

Анализ дискретного отображения вида (1) через представление в координатах изображающей точки $P_{Qs}^{(n)}$ позволяет однозначно и во взаимосвязи идентифицировать различные его свойства, в том числе неподвижные точки отображения

$$s_x = s_y = s_z = 0,$$

циклы периода два

$$s_x = s_y = -s_z \neq 0, \quad (14)$$

циклы периода три

$$-s_x + s_y + s_z = 0, \quad s_x \neq 0, \quad s_y \neq 0, \quad s_z \neq 0.$$

Отметим, что соотношения (14) задают соответственно следующие уравнения: точки; прямой с выколотой точкой; плоскости с выколотой точкой и разрезанной тремя плоскостями. Для понимания сути соотношений (14) заметим, что координаты s_x, s_y и s_z с точностью до знака представляют собой приращения n -й фазовой переменной отображения $f(\mathbf{s}, \mathbf{p})$ при последовательных его итерациях.

Элементарно также обнаруживаются Т- и Q-символы. Например, условия для символов Т5P и Q5P6L записываются следующим образом (см. рис. 3):

$$\begin{aligned} s_x < 0, \quad s_y > 0, \quad -s_x < s_y, \\ s_x < 0, \quad s_y > 0, \quad s_z < 0, \quad -s_x < s_y, \quad -s_z < s_y. \end{aligned} \quad (15)$$

В (14) и (15), задавая S_* — область определения фазовой переменной s , — можно как управлять получаемыми решениями, так и определять область изменения вектора параметров \mathbf{p} , в которых эти решения существуют. Таким образом, систематический анализ отображения по составу T- и Q-символов позволяет обнаружить и классифицировать TQ-бифуркации, реализующиеся в нем.

Следует отметить два ключевых момента данного анализа. Во-первых, взаимосвязанная идентификация неподвижных точек отображения, циклов периода два, циклов периода три и TQ-бифуркаций с учетом положений теоремы Шарковского [2] позволяет проводить комплексный анализ системы на предмет свойств хаоса. Во-вторых, подобный анализ, в силу формы базовых выражений, удобно проводить в современных системах компьютерной алгебры (которые де-факто стали стандартным инструментом для большинства физиков, как теоретиков, так и экспериментаторов). Это позволяет существенно экономить время и избегать многих рутинных ошибок.

4. ПРИМЕРЫ

Чтобы сделать восприятие изложенной выше методики обнаружения TQ-бифуркаций в дискретных отображениях более доступным, при построении примеров использовались два непринципиальных упрощения: 1) TQ-бифуркации анализировались только для подмножества символов $T_c^{\alpha\varphi}$, см. (12); 2) при анализе TQ-бифуркации строились по внешней оболочке аттрактора (притягивающего множества) [1, 5]; внутренняя структура самого аттрактора и внешние по отношению к нему области не рассматривались. Первое ограничение никак не влияет на анализ основных (наиболее вероятных) траекторий, располагающихся в зоне аттрактора, а затрагивает только сепаратрисы (точки равновесия). Оно является чисто техническим и легко снимается посредством расширения анализа на весь T-алфавит, см. (4). Второе ограничение сводится к тому, что анализируются вкуче как траектории собственно аттрактора, так и переходные траектории, располагающиеся непосредственно внутри его внешних границ. Тем не менее оно никак не влияет на полученные результаты: при том или ином значении вектора управляющих параметров аттрактор принципиально не может содержать те или иные T-и/или Q-символы. Естественно, что и второе упро-

щение возможно снять, но для этого потребуются информация о детальной структуре аттрактора.

4.1. Логистическое отображение

Для демонстрации сути TQ-бифуркаций рассмотрим логистическое отображение, которое является эталонной моделью нелинейной динамики:

$$s_{k+1} = f(s_k, \lambda) = 4\lambda s_k(1 - s_k), \quad (16)$$

где $\lambda \in (0, 1]$ — управляющий параметр, $s \in (0, 1)$ — фазовая переменная системы. Методическое значение этого осциллятора обусловлено тем, что при относительной простоте логистическое отображение порождает широкий спектр сложных, в том числе и хаотических, колебательных режимов [27, 31], переход к которым осуществляется через классический сценарий удвоения периода. С учетом универсальности Фейгенбаума многие результаты распространяются на широкий класс как модельных, так и реальных физических, биофизических, химических и других систем, что обуславливает прикладной интерес к логистическому отображению [31, 32].

Известно, что за предельной точкой удвоения периода $\lambda_\infty = 0.892486418\dots$ структура динамики (16) необычайно богата (рис. 4а): хаотические режимы сменяются циклами различных периодов, которые, в свою очередь, вновь превращаются в хаос; выделяется также значение $\lambda_{3c} = 1/4 + 1/\sqrt{2}$, которое соответствует точке касательной бифуркации (переход к хаосу через перемежаемость). Относительно хаотических режимов, как правило, делается один вывод: с увеличением λ степень хаотичности растет, достигая максимальной величины при $\lambda = 1$. Данный вывод делается на основе анализа показателя Ляпунова (см. рис. 4б).

Анализ отображения (16) на основе описанной в статье техники позволяет расширить наши представления о качественном характере колебаний за предельной точкой λ_∞ удвоения периода. Оказывается, что логистический осциллятор в пределах внешней оболочки аттрактора,

$$f(\lambda, \lambda) \leq s_k \leq \lambda, \quad (17)$$

испытывает целый каскад TQ-бифуркаций I и II родов (в контексте подмножества символов $T_c^{\alpha\varphi}$), которые существенно расширяют допустимые формы траекторий с увеличением параметра λ (рис. 5).

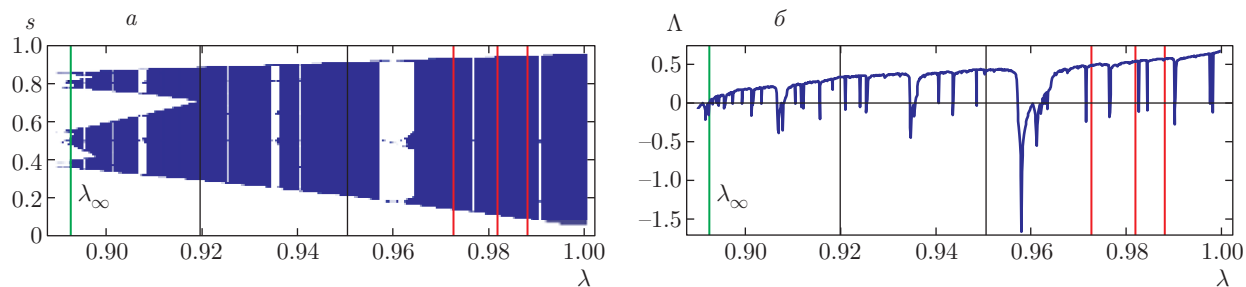


Рис. 4. Логистическое отображение: а — бифуркационная диаграмма; б — показатель Ляпунова Λ

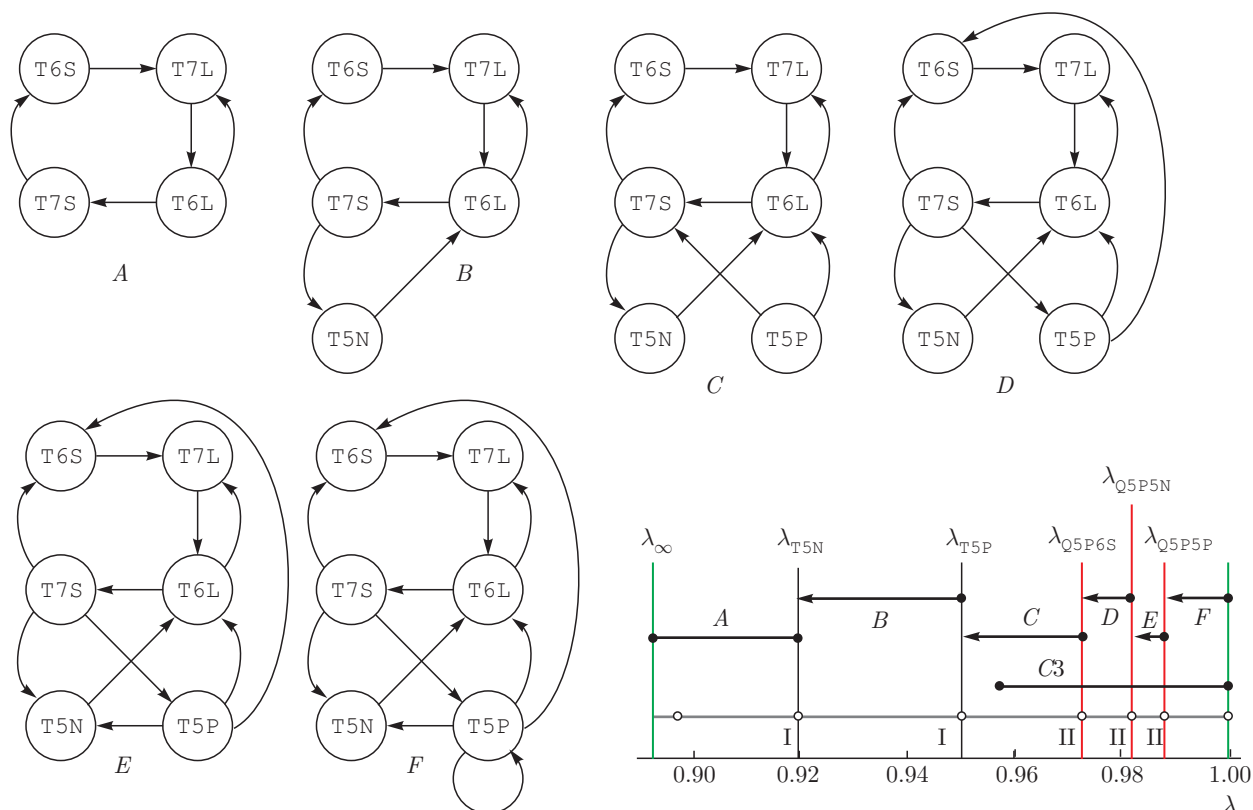


Рис. 5. Диаграмма TQ-бифуркаций логистического отображения справа от точки λ_∞ . При обозначении интервалов А–F и C3 точка и стрелка имеют смысл соответственно $\lambda = \lambda_*$ и $\lambda \rightarrow \lambda_*$, где λ_* — то или иное граничное значение параметра

На интервале

$$\lambda_\infty \leq \lambda \leq \lambda_{T5N},$$

$$\lambda_{T5N} = 0.9196433776070805\dots,$$

$$\lambda_{T5N} = \frac{1}{6} [1 + d_1 + d_2], \quad d_1 = (19 - 3\sqrt{33})^{1/3}, \quad (18)$$

$$d_2 = (19 + 3\sqrt{33})^{1/3}$$

траектории относятся к типу А. На интервале

$$\lambda_{T5N} < \lambda \leq \lambda_{T5P},$$

$$\lambda_{T5P} = 0.9505328097413777\dots,$$

$$\lambda_{T5P} = \frac{1}{4} + \frac{1}{4} \times$$

$$\times \left[1 + \frac{2}{\sqrt{3}} \left(\sqrt{3} + c + \sqrt{6\sqrt{3}c^{-1} - c^2 - 3} \right) \right]^{1/2}, \quad (19)$$

$$a = \left(\frac{2}{11 + 3\sqrt{69}} \right)^{1/3},$$

$$b = 2^{2/3} (11 + 3\sqrt{69})^{1/3}, \quad c = \sqrt{b - 10a - 1}$$

траектории относятся к типу *B*. На интервале

$$\begin{aligned} \lambda_{T5P} < \lambda \leq \lambda_{Q5P6S}, \\ \lambda_{Q5P6S} &= 0.9727182637816345\dots, \\ \lambda_{Q5P6S} &= \frac{1}{4} + \frac{1}{4} \left[1 + \frac{4}{3} (1 + 4d_1^{-1} + d_1) \right]^{1/2} \end{aligned} \quad (20)$$

траектории относятся к типу *C*. В пределах этого интервала при $\lambda = \lambda_{3c}$ впервые возникают траектории, имеющие минимальный цикл периода 3, которые существуют вплоть до $\lambda = 1$ (см. интервал *C3* на рис. 5). На интервале

$$\begin{aligned} \lambda_{Q5P6S} < \lambda \leq \lambda_{Q5P5N}, \\ \lambda_{Q5P5N} &= 0.9819342504466879\dots \end{aligned} \quad (21)$$

траектории относятся к типу *D*. Точка λ_{Q5P6S} — один из корней полиномиального уравнения

$$128\lambda^7 - 192\lambda^6 + 32\lambda^5 + 48\lambda^4 - 8\lambda^3 - 4\lambda^2 - 2\lambda - 1 = 0. \quad (22)$$

На интервале

$$\begin{aligned} \lambda_{Q5P5N} < \lambda \leq \lambda_{Q5P5P}, \\ \lambda_{Q5P5P} &= 0.9880824702836961\dots, \\ \lambda_{Q5P5P} &= \frac{1}{4} \left(1 + \sqrt{1 + 8R_1} \right) \end{aligned} \quad (23)$$

траектории относятся к типу *E*. Точка R_1 — один из корней полиномиального уравнения

$$256\lambda^8 - 512\lambda^7 + 384\lambda^6 - 192\lambda^5 + 96\lambda^4 - 32\lambda^3 + 8\lambda^2 - 4\lambda - 1 = 0. \quad (24)$$

Окончательное усложнение траекторий внутри аттрактора происходит на интервале $\lambda_{Q5P5P} < \lambda \leq 1$, на котором траектории относятся к типу *F*.

Из представленных результатов следует, что с увеличением λ усложняется структура аттрактора и растет качественная сложность формы траекторий колебаний, в том числе и в хаотических режимах. Примечательно, что хаотические режимы впервые возникают при $\lambda = \lambda_\infty$, но вплоть до $\lambda = \lambda_{T5N}$ траектории имеют весьма вырожденную форму в виде набора простых треугольных импульсов различной амплитуды, и только при $\lambda > \lambda_{Q5P5P}$ форма колебаний становится достаточно «запутанной». Тем не менее колебания логистического осциллятора даже в режиме развитого хаоса являются вырожденными относительно истинно стохастического процесса [5]: сравните структуру траекторий типа *F* (см. рис. 5) и потенциально допустимый набор T-символов и переходов между ними (см. рис. 1б).

4.2. Отображение следа

При теоретическом исследовании различных решеточных моделей в статистической физике зачастую возникают дискретные отображения вида (1) [33]. Так, приближение Бете–Пайерлса и метод рекуррентных соотношений [15, 16] позволяют свести изучение свойств фазовых переходов и критических явлений в системах к изучению поведения отображений вида (1). В свою очередь, квантовомеханическое приближение при изучении различных свойств дискретных кристаллических и квазикристаллических решеток порождает потребность в анализе свойств и решении дискретных аналогов уравнения Шредингера. Популярный подход к этой задаче предполагает порождение так называемых отображений следа (trace map) [17, 18]. Некоторые из них топологически сопряжены с однопараметрическим отображением на плоскости F_μ :

$$x_{k+1} = x_k y_k, \quad y_{k+1} = (x_k - \mu)^2, \quad (25)$$

где $\mu \in [0, 2]$ — управляющий параметр, $x, y \in [0, 4]$ — фазовые переменные системы. Исследование характеристик отображений следа важно тем, что последовательность величин x_k, y_k определяет в итоге свойства исследуемого кристалла: является ли он проводником или изолятором, отражает или поглощает излучение и т. п. Помимо этого исследование отображения (25) представляет интерес и с позиций нелинейной динамики и теории хаоса [34].

Анализ системы (25) на основе предложенной в работе техники позволяет дополнить уже известные результаты по изучению этой системы (см., например, работу [35] и приведенные там ссылки). Как показал анализ отображения (25), его траектории в пределах внешней оболочки аттрактора,

$$x \geq 0, \quad y \geq 0, \quad x + y \leq 4, \quad (26)$$

по обоим фазовым переменным при всех значениях μ могут содержать полный набор T-символов. Тем не менее при изменении значений управляющего параметра в системе происходят совместные по обоим фазовым переменным TQ-бифуркации I рода. На рис. 6а приведена матрица интервалов параметра μ для существования тех или иных пар символов. Численные значения интервалов следующие:

$$\begin{aligned} A : 0 \leq \mu \leq 2, & \quad T : 0 \leq \mu < 2, \\ Z : 0 < \mu \leq 2, & \quad H : 1/2 < \mu \leq 2, \\ R : \mu_R < \mu \leq 2, & \quad E : 1 < \mu \leq 2, \\ S : \sqrt{2} < \mu \leq 2, & \quad B : 3/2 < \mu \leq 2. \end{aligned} \quad (27)$$

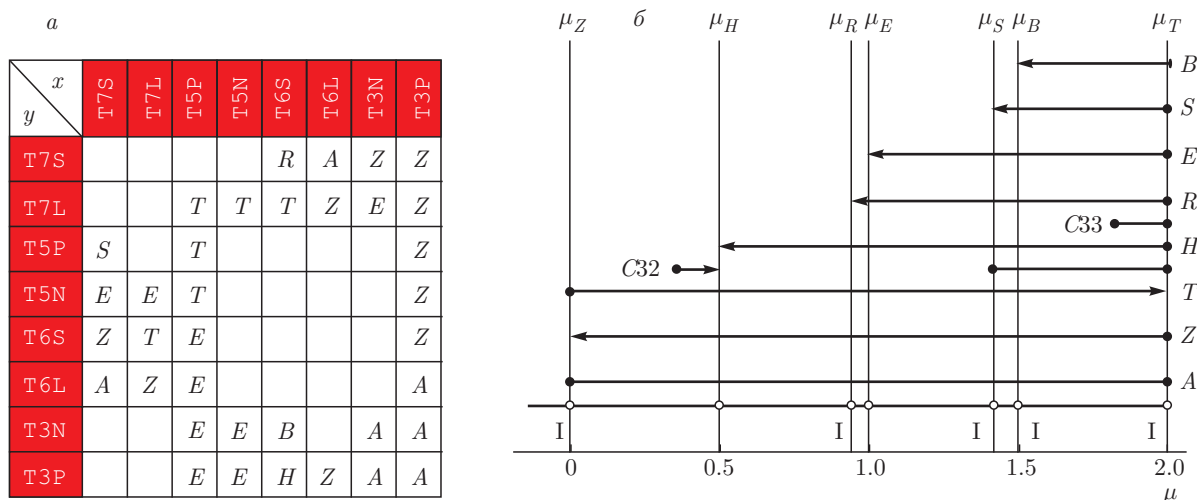


Рис. 6. Отображение (25): а — интервалы существования символов; б — диаграмма TQ-бифуркаций

Здесь точка $\mu_R = 0.9344372418274018\dots$ — один из корней полиномиального уравнения

$$2\mu^5 - 16\mu^4 + 42\mu^3 - 31\mu^2 - 24\mu + 26 = 0. \quad (28)$$

Отметим, что анализ отображения (25) на предмет наличия TQ-бифуркаций II и III родов требует дополнительных исследований.

Дополнительный анализ также показал, что одномоментное по переменным x и y существование циклов периода 2 в системе невозможно. Но одномоментные циклы периода 3 (CP33) существуют в системе в диапазоне значений управляющего параметра

$$\mu_{33} \leq \mu \leq 2, \quad \mu_{33} = 1.8231182874599805\dots \quad (29)$$

Точка μ_{33} — один из корней полиномиального уравнения

$$\mu^{11} - \mu^{10} - 12\mu^9 + \mu^8 + 39\mu^7 + 51\mu^6 - 62\mu^5 - 160\mu^4 + 120\mu^3 + 160\mu^2 - 512 = 0. \quad (30)$$

В диапазонах значений параметра μ

$$\begin{aligned} \mu_{32}^1 &\leq \mu < \frac{1}{2}, \\ \mu_{32}^1 &= 0.3533904552829103\dots, \\ \mu_{32}^2 &\leq \mu \leq 2, \\ \mu_{32}^2 &= 1.398425762651376\dots \end{aligned} \quad (31)$$

существует также несимметричная одномоментная комбинация циклов (CP32): цикл периода 3 по пе-

ременной x и цикл периода 2 по y . Точки μ_{32}^1 и μ_{32}^2 — корни полиномиальных уравнений

$$\begin{aligned} \mu^5 - 4\mu^4 + 5\mu^3 + 2\mu^2 - 4\mu + 1 &= 0, \\ \mu^5 - 2\mu^4 - 3\mu^3 + 2\mu^2 + 4\mu + 1 &= 0. \end{aligned} \quad (32)$$

Из полученных результатов следует, что траектории невозмущенного отображения ($\mu = 0$) в пределах аттрактора могут содержать только парные T-символы, входящие в интервалы A и T . В то же время траектории классического отображения следа ($\mu = 2$) более сложно устроены: они не могут содержать парные T-символы, входящие в интервал T , но могут иметь множество других комбинаций парных T-символов, а также иметь циклы $C32$ и $C33$.

5. ЗАКЛЮЧЕНИЕ

Итак, в настоящей работе введен новый класс бифуркаций в дискретных динамических системах. Так называемые TQ-бифуркации, которые реализуются в дискретных отображениях, связаны с качественным перестроением формы траекторий в расширенном пространстве состояний. Изложены также методы диагностики TQ-бифуркаций и анализа их свойств. В основе подхода лежит формализм символического СТQ-анализа, предложенного автором в работах [26, 27].

Потенциально конструктивное применение разработанного подхода к анализу дискретных динамических систем возможно для решения различных физических проблем, например, передачи и кодирования информации в хаотических системах, управ-

ления хаотической динамикой и подавления хаотических колебаний при помощи малых внешних воздействий, анализа физических свойств дискретных решеток, например магнитных, изучения динамики заряженных частиц высоких энергий в изогнутых кристаллах. Естественно, что область применения TQ-бифуркаций в дискретных динамических системах не ограничивается только физикой и может быть расширена на любые научно-технические задачи, оперирующие дискретными отображениями.

В рамках демонстрации основных возможностей инструментария проведен анализ логистического отображения в области, расположенной справа от предельной точки удвоений периода. Эта система является эталонной моделью нелинейной динамики. Кроме того, с учетом универсальности Фейгенбаума, многие результаты анализа этой модели распространяются на широкий класс как теоретических, так и реальных объектов [31,32]. Проведенный анализ показал, что с увеличением λ усложняется структура аттрактора и растет качественная сложность формы траекторий колебаний, в том числе и в хаотических режимах. Найдены пять критических значений параметра λ , при которых происходит качественная перестройка геометрической структуры траекторий логистического отображения.

Дополнительно также проведено исследование так называемого отображения следа, возникающего в задачах квантовомеханического описания различных свойств дискретных кристаллических и квазикристаллических решеток [17,18]. Полученные результаты позволили расширить уже известные представления об этой системе [35].

В заключение следует отметить, что предложенные сценарии перестройки геометрической структуры траекторий дискретных отображений ни в коем случае не являются заменой типовых сценариев разрушения хаоса и перехода к хаосу и классических бифуркационных механизмов в динамических системах [1,6–8]. Напротив, анализ TQ-бифуркаций органично интегрируется с ними, позволяя посмотреть на анализируемую систему с несколько иной точки зрения — с точки зрения геометрии ее траектории в расширенном пространстве состояний.

ЛИТЕРАТУРА

1. Дж. Гукенхеймер, Ф. Холмс, *Нелинейные колебания, динамические системы и бифуркации векторных полей*, ИКИ, Москва–Ижевск (2002).

2. А. Б. Каток, Б. Хасселблат, *Введение в современную теорию динамических систем с обзором последних достижений*, пер. с англ. под ред. А. С. Городецкого, МЦНМО, Москва (2005).
3. С. П. Кузнецов, УФН **181**, 121 (2011).
4. В. С. Анищенко, Т. Е. Вадивасова, Г. А. Окрокверцхов, Г. И. Стрелкова, УФН **175**, 163 (2005).
5. А. Ю. Лоскутов, УФН **180**, 1305 (2010).
6. В. И. Арнольд, В. С. Афраймович, Ю. С. Ильяшенко, Л. П. Шильников, *Теория бифуркаций*, Итоги науки и техн., серия Соврем. пробл. мат., Фундам. направления, ВИНТИ, Москва (1986), т. 5.
7. Л. П. Шильников, А. Л. Шильников, Д. В. Тураев, Л. Чуа, *Методы качественной теории в нелинейной динамике*, т. II, РХД, Ижевск (2009).
8. R. Gilmore and M. Lefranc, *The Topology of Chaos*, Wiley-Interscience, New York (2002).
9. O. Burylko, Y. Kazanovich, and R. Borisyuk, Phys. Rev. E **90**, 022911 (2014).
10. H. Kori, Y. Kuramoto, S. Jain et al., Phys. Rev. E **89**, 062906 (2014).
11. F. Bagnoli and R. Rechtman, Phys. Rev. E **88**, 062914 (2013).
12. S. Astakhov, N. Fujiwara, A. Gulay et al., Phys. Rev. E **88**, 032908 (2013).
13. Q. Ren, K. M. Kolwankar, A. Samal, and J. Jost, Phys. Rev. E **86**, 056103 (2012).
14. А. Ю. Лоскутов, А. В. Попкова, Письма в ЖЭТФ **94**, 86 (2011).
15. Н. С. Ананикян, Л. Н. Ананикян, Л. А. Чахмакчян, Письма в ЖЭТФ **94**, 40 (2011).
16. J. L. Monroe, J. Stat. Phys. **65**, 255 (1991).
17. A. Romanelli, Physica A **388**, 3985 (2009).
18. Mini-Workshop “Dynamics of Trace Maps and Applications to Spectral Theory”, ed. by D. Damanik and A. Gorodetski, Oberwolfach Report 03/2011, Oberwolfach (2001).
19. А. Л. Вировлянский, Д. В. Макаров, С. В. Пранц, УФН **182**, 19 (2012).
20. А. И. Ахиезер, Н. Ф. Шульга, В. И. Трутень и др., УФН **165**, 1165 (1995).
21. Р. Боуэн, *Методы символической динамики*, Мир, Москва (1979).

22. C. S. Hsu, *Cell-to-Cell Mapping: a Method of Global Analysis for Nonlinear Systems*, Springer-Verlag, New York (1987).
23. M. Dellnitz and A. Hohmann, *Numerische Mathematik* **75**, 293 (1997).
24. A. V. Makarenko, School-Seminar “Interaction of Mathematics and Physics: New Perspectives”, Steklov Mathematical Institute of RAS, Moscow (2012).
25. А. В. Макаренко, Наноструктуры. Матем. физика и модел. **8**(2), 21 (2013).
26. А. В. Макаренко, Письма в ЖТФ **38**(4), 1 (2012).
27. А. В. Макаренко, Ж. вычислит. матем. и матем. физ. **52**, 1248 (2012).
28. A. V. Makarenko, *IFAC-PapersOnLine* **48**, 1049 (2015); arXiv:1506.09103.
29. А. В. Макаренко, в сб. Труды Междунар. конф. по дифференциальным уравнениям и динамическим системам (DIFF-14). Математический ин-т им. В. А. Стеклова РАН, Москва (2014), с. 108.
30. В. Гуревич, Г. Волмэн, *Теория размерности*, Гос. изд-во иностр. лит., Москва (1948).
31. E. Mosekilde, Yu. Maistrenko, and D. Postnov, *Chaotic Synchronization: Applications to Living Systems*, Vol. 42, World Sci. Publ., New York (2002).
32. М. Фейгенбаум, УФН **141**, 343 (1983).
33. Р. Бэкстер, *Точно решаемые модели в статистической механике*, Мир, Москва (1985).
34. A. N. Sharkovskii, in *Proc. Int. Conf. “Low Dimensional Dynamics”*, Oberwolfach, Germany (1993), p. 17.
35. S. S. Belmesova, L. S. Efremova, and D. Fournier-Prunaret, *ESAIM: Proceedings and Surveys* **46**, 98 (2014).